

## Activation 1 – Corrigé

## Activation – Pompe à pistons axiaux

É. Durif

## Savoirs et compétences :

□ Mod2.C34 : chaînes de solides.

## Bilan des actions mécanique pour chacune des classes d'équivalence

## Bilan des actions mécaniques pour l'ensemble 1

On choisit d'écrire tous les torseurs des actions mécaniques au point  $B$  :

- Action de 0 sur 1 en A :

$$\{\mathcal{T}(S_0 \rightarrow S_{1A})\} = \begin{Bmatrix} X_{A01} & 0 \\ Y_{A01} & 0 \\ Z_{A01} & 0 \end{Bmatrix}_{A,R_1} = \begin{Bmatrix} X_{A01} & L_1 Y_{A01} \\ Y_{A01} & -L_1 X_{A01} \\ Z_{A01} & 0 \end{Bmatrix}_{B,R_1}$$

- Action de 0 sur 1 en B :

$$\{\mathcal{T}(S_0 \rightarrow S_{1B})\} = \begin{Bmatrix} X_{B01} & L_{B01} \\ Y_{B01} & M_{B01} \\ 0 & 0 \end{Bmatrix}_{B,R_1}$$

- Action de 2 sur 1 en C :

$$\{\mathcal{T}(S_2 \rightarrow S_1)\} = \begin{Bmatrix} X_{21} & L_{21} \\ Y_{21} & M_{21} \\ 0 & 0 \end{Bmatrix}_{C,R_1} = \begin{Bmatrix} X_{21} & L_{21} \\ Y_{21} & M_{21} \\ 0 & -R Y_{21} \end{Bmatrix}_{B,R_1}$$

## Bilan des actions mécaniques pour l'ensemble 2

On choisit d'écrire tous les torseurs des actions mécaniques au point  $C$  :

- Action de 3 sur 2 en D :

$$\{\mathcal{T}(S_3 \rightarrow S_2)\} = \begin{Bmatrix} X_{32} & 0 \\ Y_{32} & 0 \\ Z_{32} & 0 \end{Bmatrix}_{D,R_1} = \begin{Bmatrix} X_{32} & -\lambda Y_{32} \\ Y_{32} & \lambda X_{32} \\ Z_{32} & 0 \end{Bmatrix}_{C,R_1}$$

- Action de 1 sur 2 en C :

$$\{\mathcal{T}(S_1 \rightarrow S_2)\} = \begin{Bmatrix} -X_{21} & -L_{21} \\ -Y_{21} & -M_{21} \\ 0 & 0 \end{Bmatrix}_{C,R_1}$$

- Action de la pression en C :

$$\{\mathcal{T}(\text{pression} \rightarrow S_2)\} = \begin{Bmatrix} 0 & 0 \\ 0 & 0 \\ F_p & 0 \end{Bmatrix}_{C,R_1}$$

## Bilan des actions mécaniques pour l'ensemble 3

On choisit d'écrire tous les torseurs des actions mécaniques au point  $D$  :

- Action de 2 sur 3 en D :

$$\{\mathcal{T}(S_2 \rightarrow S_3)\} = \begin{Bmatrix} -X_{32} & 0 \\ -Y_{32} & 0 \\ -Z_{32} & 0 \end{Bmatrix}_{D,R_1}$$

• Action de 0 sur 3 en E :

$$\{\mathcal{T}(S_0 \rightarrow S_3)\} = \begin{Bmatrix} 0 & L_{03} \\ 0 & M_{03} \\ Z_{03} & 0 \end{Bmatrix}_{C, R_{1*}} = \begin{Bmatrix} 0 & L_{03} \\ 0 & M_{03} \\ Z_{03} & 0 \end{Bmatrix}_{D, R_{1*}} = \begin{Bmatrix} Z_{03} \sin(\alpha) & L_{03} \cos(\alpha) \\ 0 & M_{03} \\ Z_{03} \cos(\alpha) & -L_{03} \sin(\alpha) \end{Bmatrix}_{D, R_1}$$

### Résolution d'un système linéaire homogène

En appliquant successivement le principe fondamental de la statique pour chacun des trois ensemble on obtient un système de 18 équations :

(1) résultante suivant $\vec{x}_1$	$X_{A01} + X_{B01} + X_{C21} = 0$
(2) résultante suivant $\vec{y}_1$	$Y_{A01} + Y_{B01} + Y_{C21} = 0$
(3) résultante suivant $\vec{z}_1$	$Z_{A01} = 0$
(4) moment suivant $(B, \vec{x}_1)$	$L_1 Y_{A01} + L_{B01} + L_{C21} = 0$
(5) moment suivant $(B, \vec{y}_1)$	$-L_1 X_{A01} + M_{B01} + M_{C21} = 0$
(6) moment suivant $(B, \vec{z}_1)$	$-R Y_{C21} = 0$
(7) résultante suivant $\vec{x}_1$	$X_{D32} - X_{C21} = 0$
(8) résultante suivant $\vec{y}_1$	$Y_{D32} - Y_{C21} = 0$
(9) résultante suivant $\vec{z}_1$	$Z_{D32} + F_p = 0$
(10) moment suivant $(C, \vec{x}_1)$	$-\lambda Y_{D32} - L_{C21} = 0$
(11) moment suivant $(C, \vec{y}_1)$	$\lambda X_{D32} - M_{C21} = 0$
(12) moment suivant $(C, \vec{z}_1)$	$0 = 0$
(13) résultante suivant $\vec{x}_1$	$-X_{D32} + Z_{E03} \sin(\alpha) = 0$
(14) résultante suivant $\vec{y}_1$	$-Y_{D32} = 0$
(15) résultante suivant $\vec{z}_1$	$-Z_{D32} + Z_{E03} \cos(\alpha) = 0$
(16) moment suivant $D \vec{x}_1$	$L_{E03} \cos(\alpha) = 0$
(17) moment suivant $D \vec{y}_1$	$M_{E03} = 0$
(18) moment suivant $D \vec{z}_1$	$-M_{E03} \sin(\alpha) = 0$

### Mise en évidence de l'hyperstatisme et de la mobilité

Bilan de l'approche statique

- On obtient alors un système de  $E_s = 18$  **équations statiques**.
- La modélisation comporte  $I_s = 17$  **inconnues statiques**.
- Certaines de ces équations ne sont pas significatives, elles correspondent aux mobilités cinématiques du mécanisme :
  - Équation (12) " $0 = 0$ " : *mobilité de rotation de piston autour de  $(C, \vec{z}_1)$* .
  - Les équations (6) (8) et (14) sont équivalentes à deux équations libres : *mobilité de rotation du barillet autour de  $(B, \vec{z}_1)$* .
  - Équation (18) liée à (17) : *rotation du poussoir autour de  $(E, \vec{z}_{1*})$* .

Le système possède alors **3 mobilités cinématiques** ( $m_c = 3$ ).

Pour résoudre ce système on se retrouve donc avec  $r_s = 15$  **équations significatives** (rang du système d'équations statiques  $r_s$ ) pour  $I_s = 17$  **inconnues**. Nous avons donc un déficit de **2 équations** ou encore 2 inconnues statiques de trop pour résoudre le problème. Le système est donc **hypercontraint**. On dit que la **modélisation du système est hyperstatique d'ordre 2**

$$h = I_s - r_s = I_s - (E_s - m_c) \quad (1)$$

## Étude cinématique

### Objectifs

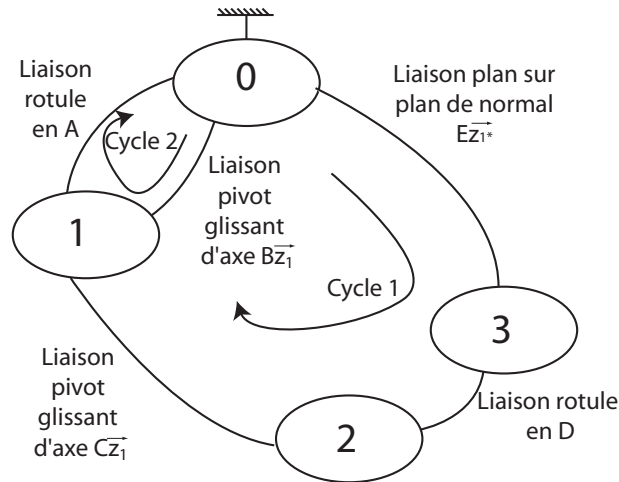
- La résolution cinématique a pour but de déterminer les caractéristiques cinématiques au niveau de toutes les liaisons de la chaîne.
- Cette approche permet également de déterminer l'isostaticité ou l'hyperstaticité en vue de déterminer les conditions éventuelles de montage du mécanisme.
- Elle permet enfin de déterminer la loi entrée-sortie cinématique du mécanisme.

## Démarche

Le graphe de liaison donné ci-après montre que le mécanisme possède deux chaînes fermées :

- Chaîne 1 : {0-3-2-1-0}.
- Chaîne 2 : {0-1-0}.

L'approche cinématique consiste à écrire pour chaque chaîne la fermeture cinématique à l'aide des torseurs.



Graphe de structure de la pompe

## Fermeture de chaîne cinématique

### Chaîne cinématique 1

La fermeture cinématique s'écrit :

$$\{\mathcal{V}(3/0)\} = \{\mathcal{V}(3/2)\} + \{\mathcal{V}(2/1)\} + \{\mathcal{V}(1/0)\}$$

On détermine alors successivement les différents torseurs cinématiques que l'on exprimera tous en C :

- $\{\mathcal{V}(3/0)\}$  :

$$\begin{aligned} \{\mathcal{V}(3/0)\} &= \begin{Bmatrix} 0 & u_{30} \\ 0 & v_{30} \\ r_{30} & 0 \end{Bmatrix}_{E,R_{1*}} = \begin{Bmatrix} 0 & u_{30} \\ 0 & v_{30} \\ r_{30} & 0 \end{Bmatrix}_{D,R_{1*}} = \begin{Bmatrix} 0 & u_{30} \cos(\alpha) \\ r_{30} \sin(\alpha) & v_{30} \\ r_{30} \cos(\alpha) & -u_{30} \sin(\alpha) \end{Bmatrix}_{D,R_1} \\ &= \begin{Bmatrix} 0 & u_{30} \cos(\alpha) - \lambda r_{30} \sin(\alpha) \\ r_{30} \sin(\alpha) & v_{30} \\ r_{30} \cos(\alpha) & -u_{30} \sin(\alpha) \end{Bmatrix}_{C,R_1} \end{aligned}$$

- $\{\mathcal{V}(3/2)\}$  :

$$\{\mathcal{V}(3/2)\} = \begin{Bmatrix} p_{32} & 0 \\ q_{32} & 0 \\ r_{32} & 0 \end{Bmatrix}_{D,R_1} = \begin{Bmatrix} p_{32} & -\lambda q_{32} \\ q_{32} & \lambda p_{32} \\ r_{32} & 0 \end{Bmatrix}_{C,R_1}$$

- $\{\mathcal{V}(2/1)\}$  :

$$\{\mathcal{V}(2/1)\} = \begin{Bmatrix} 0 & 0 \\ 0 & 0 \\ r_{21} & w_{21} \end{Bmatrix}_{C,R_1}$$

- $\{\mathcal{V}(1/0)\}$  :

$$\{\mathcal{V}(1/0)\} = \begin{Bmatrix} 0 & 0 \\ 0 & 0 \\ r_{B10} & 0 \end{Bmatrix}_{B,R_1} = \begin{Bmatrix} 0 & 0 \\ 0 & -R r_{B10} \\ r_{B10} & 0 \end{Bmatrix}_{C,R_1}$$

## Chaine cinématique 2

La fermeture cinématique s'écrit :

$$\{\mathcal{V}(1_A/0)\} = \{\mathcal{V}(1_B/0)\}$$

On détermine alors successivement les différents torseurs cinématiques que l'on exprimera tous en A :

- $\{\mathcal{V}(1_A/0)\}$  :

$$\{\mathcal{V}(1_A/0)\} = \begin{Bmatrix} p_{A10} & 0 \\ q_{A10} & 0 \\ r_{A10} & 0 \end{Bmatrix}_{A,R_1}$$

- $\{\mathcal{V}(1_B/0)\}$  :

$$\{\mathcal{V}(1_B/0)\} = \begin{Bmatrix} 0 & 0 \\ 0 & 0 \\ r_{B10} & w_{B10} \end{Bmatrix}_{A,R_1}$$

## Résolution

On écrit alors la fermeture cinématique pour chaque fermeture cinématique. Cela donnera 12 équation pour 13 inconnues avec les deux fermetures de chaînes :

$$\{\mathcal{V}_{(1/0)}^A\} - \{\mathcal{V}_{(1/0)}^B\} = \{0\}$$

$$\{\mathcal{V}(3/2)\} + \{\mathcal{V}(2/1)\} + \{\mathcal{V}(1/0)\} - \{\mathcal{V}(3/0)\} = \{0\}$$

$$\begin{matrix} (1) \\ (2) \\ (3) \\ (4) \\ (5) \\ (6) \\ (7) \\ (8) \\ (9) \\ (10) \\ (11) \\ (12) \end{matrix} \begin{pmatrix} 1 & 0 & 0 & 0 & 0 & 0 & 0 & 0 & 0 & 0 & 0 & 0 & 0 \\ 0 & 1 & 0 & 0 & 0 & 0 & 0 & 0 & 0 & 0 & 0 & 0 & 0 \\ 0 & 0 & 1 & -1 & 0 & 0 & 0 & 0 & 0 & 0 & 0 & 0 & 0 \\ 0 & 0 & 0 & 0 & 0 & 0 & 0 & 0 & 0 & 0 & 0 & 0 & 0 \\ 0 & 0 & 0 & 0 & 0 & 0 & 0 & 0 & 0 & 0 & 0 & 0 & 0 \\ 0 & 0 & 0 & 0 & 1 & 0 & 0 & 0 & 0 & 0 & 0 & 0 & 0 \\ 0 & 0 & 0 & 0 & 0 & 0 & 0 & 0 & 1 & 0 & 0 & 0 & 0 \\ 0 & 0 & 0 & 0 & 0 & 0 & 0 & -\sin(\alpha) & 0 & 1 & 0 & 0 & 0 \\ 0 & 0 & 0 & 1 & 0 & 0 & 0 & -\cos(\alpha) & 0 & 0 & 1 & 1 & 0 \\ 0 & 0 & 0 & 0 & 0 & -\cos(\alpha) & 0 & \lambda \sin(\alpha) & 0 & -\lambda & 0 & 0 & 0 \\ 0 & 0 & 0 & -R & 0 & 0 & -1 & 0 & \lambda & 0 & 0 & 0 & 0 \\ 0 & 0 & 0 & 0 & 0 & \sin(\alpha) & 0 & 0 & 0 & 0 & 0 & 1 & 0 \end{pmatrix} \cdot \begin{pmatrix} p_{A10} \\ q_{A10} \\ r_{A10} \\ r_{B10} \\ w_{B10} \\ u_{30} \\ v_{30} \\ r_{30} \\ p_{32} \\ q_{32} \\ r_{32} \\ r_{21} \\ w_{21} \end{pmatrix} = \begin{pmatrix} 0 \\ 0 \\ 0 \\ 0 \\ 0 \\ 0 \\ 0 \\ 0 \\ 0 \\ 0 \\ 0 \\ 0 \\ 0 \end{pmatrix}$$

## Mise en évidence de l'hyperstatisme et de la mobilité

### Approche cinématique

- Avec deux cycles fermés, on obtient alors un système de  $E_c = 12$  équations.
- La modélisation comporte  $I_c = 13$  inconnues cinématiques.
- Le rang du système vaut  $r_c = 10$  car deux équations ((4) et (5)) donnent "0 = 0" et ne sont donc pas significatives.
- Le nombre d'équations non-significatives correspond directement à l'**hyperstaticité** (ici  $h = 2$ )
- La mobilité cinématique se définit comme la différence entre le nombre d'inconnues cinématiques ( $I_c$ ) et le nombre d'équations significatives ( $r_c$ ) : **ici**  $m_c = 3$

$$m_c = I_c - r_c = I_c - (E_c - h). \quad (2)$$